

Выпускная квалификационная работа

**Моделирование процесса роста трещины при
монотонном и циклическом нагружении в условиях
смешанных мод разрушения**

Работу выполнил: студент гр. 5040103/20101 Фролов М.М.

Научный руководитель: д.ф.-м.н., профессор ВШМиПУ Семенов А.С.

Консультант: Инженер-конструктор 1 категории, АО «Силовые машины» Савиковский А.В.

Санкт-Петербург

2024 г.

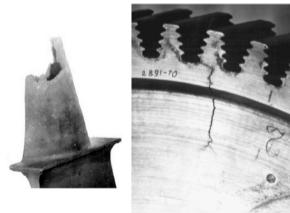
Актуальность, цель и задачи работы

Актуальность : траектория возможного распространения трещины представляет интерес для уточненной оценки надежности и долговечности высоконагруженных ответственных элементов энергетического оборудования, авиационной и автомобильной техники.

Цель работы : исследование влияние критерия определения направления распространения трещины на её расчетную траекторию при монотонном квазихрупком разрушении и в условиях многоциклового усталости.

Задачи работы:

1. Разработать алгоритм для расчета траектории распространения трещины на основе пользовательского критерия определения траектории;
2. Произвести валидацию результатов расчета при квазихрупком разрушении под действием монотонной нагрузки;
3. Произвести валидацию результатов расчета в случае многоциклового усталости.

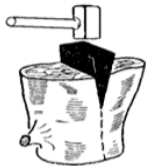


План доклада

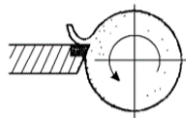
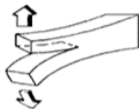
1. Параметры разрушения;
2. Критерии расчета траектории роста;
3. Расчет траектории трещины при квазихрупком разрушении под действием монотонной нагрузки:
 - 3.1 Трехточечный изгиб балки с отверстиями;
 - 3.2 Растяжение пластины с отверстием;
 - 3.3 Трехточечный изгиб балки с центральной трещиной.
4. Расчет траектории трещины многоциклового усталости:
 - 4.1 Растяжение компактного образца силой, приложенной под углом.
5. Заключение.

Параметры разрушения

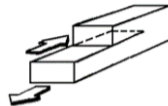
Моды разрушения



Мода I – нормальный отрыв



Мода II – продольный сдвиг



Параметры разрушения

Коэффициенты интенсивности напряжений

$$\sigma_{ij} = \sum_n \frac{K_n}{\sqrt{2\pi r}} f_{ij}^n(\theta) \quad (1)$$

K_I, K_{II}

Вектор потока энергии

$$\mathbf{J} = \lim_{\delta \rightarrow 0} \int_{\Gamma_\delta} (\rho f \mathbf{E} - \nabla \mathbf{u} \cdot \boldsymbol{\sigma}) \cdot \mathbf{n} d\Gamma \quad (2)$$

$$J_1 = \frac{K_I^2 + K_{II}^2}{\hat{E}}, \quad J_2 = -2 \frac{K_I K_{II}}{E} \quad (3)$$

Критерии расчета траектории роста

Управляющий параметр – смешанность мод

$$\zeta = \frac{K_{II}}{K_I} \quad (4)$$

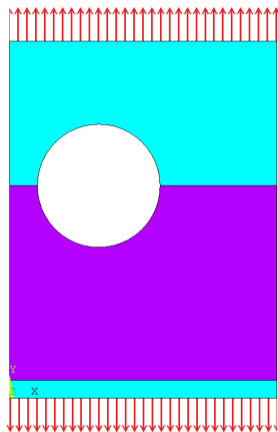
Максимальные окружные напряжения (MTS) $\frac{\partial \sigma_{\theta}}{\partial \theta} = 0$ $\sin \theta + \zeta (3 \cos \theta - 1) = 0$ (5)

Минимум плотности энергии деформаций (MSED) $\frac{\partial w}{\partial \theta} = 0$ $a_{11} + 2a_{12}\zeta + a_{22}\zeta^2 = 0$ (6)

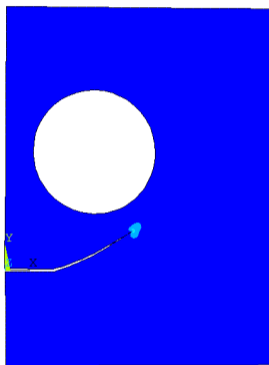
Максимум выделения энергии (MER) $\theta = \max_{\theta}(\mathbf{e}_r \cdot \mathbf{J})$ $\operatorname{tg} \theta = -\frac{2\zeta}{1 + \zeta^2}$ (7)

Максимум трехосности напряженного состояния (MTF) $\frac{\partial M}{\partial \theta} = 0, \alpha = \operatorname{tg} \frac{\theta}{2}$ $\alpha^4 - \frac{3}{\zeta} \alpha^3 - \frac{\zeta^2 - 2}{\zeta^2} \alpha^2 + \frac{\zeta^2 - 1}{\zeta^2} \frac{\alpha}{2\zeta} - \frac{1}{2} - \frac{1}{2\zeta^2} = 0$ (8)

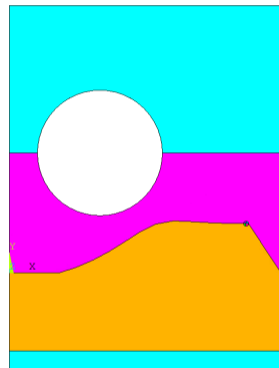
Пример работы APDL макроса для расчета траектории трещины



Начальная геометрия
образца



Промежуточный расчет
НДС



Финальная геометрия
образца

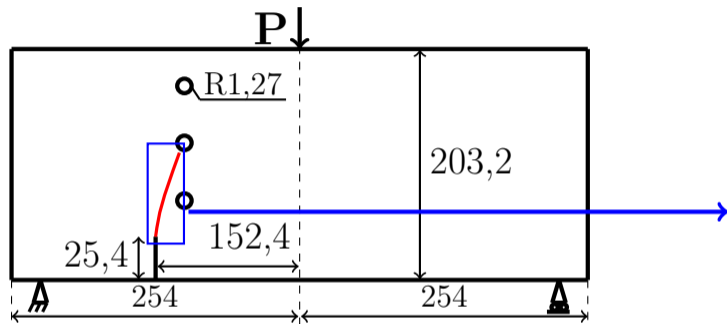
Расчет траектории трещины при хрупком разрушении под действием монотонной нагрузки

Задачи:

1. Трехточечный изгиб балки с отверстиями;
2. Растяжение пластины с отверстием;
3. Трехточечный изгиб балки с центральной трещиной.

В задачах постепенно повышается смешанность мод $\zeta = K_{II}/K_I$ – от 0,12 до 0,8.

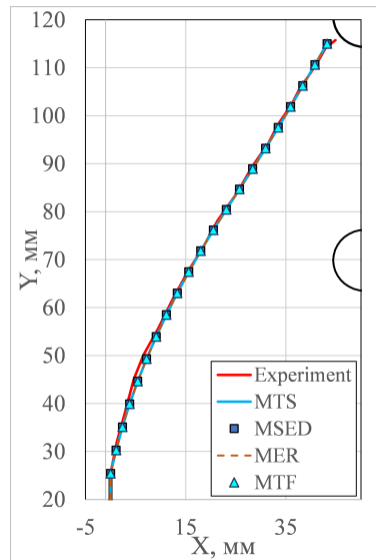
1. Трехточечный изгиб балки с отверстиями



Свойства материала (PMMA)

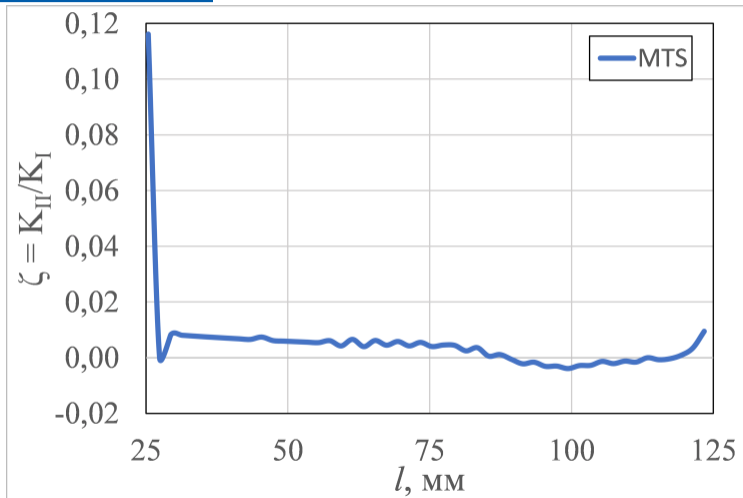
$$E = 2,89 \text{ ГПа} , \nu = 0,4$$

$$\zeta = \frac{K_{II}}{K_I} = 0,12$$



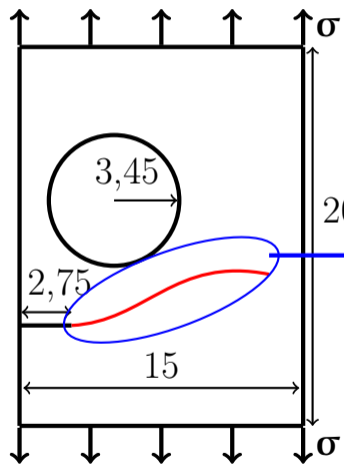
Bittencourt T.N., Wawrzynek P.A., Ingraffea A.R., Sousa J.L. Quasi-automatic simulation of crack propagation for 2D LEFM problems / Eng. Fract. Mech., 55(2), 1996.

1. Трехточечный изгиб балки с отверстиями, смешанность мод



Согласованность прогнозов траектории по различным критериям обеспечивается малостью смешанности мод на большей части траектории.

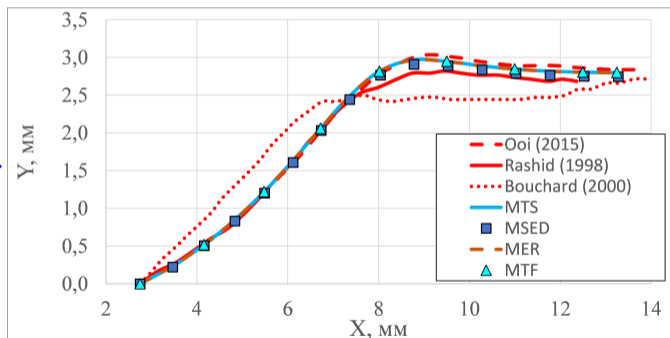
2. Растяжение пластины с отверстием



Свойства материала

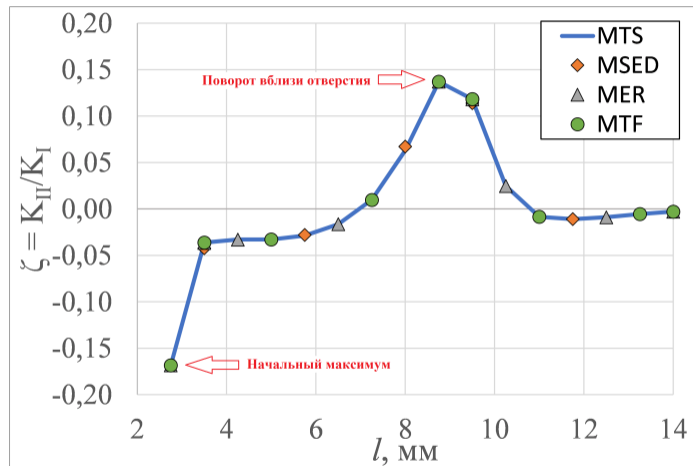
$E = 98 \text{ ГПа}$, $\nu = 0,3$

$$\zeta = \frac{K_{II}}{K_I} = 0,17$$



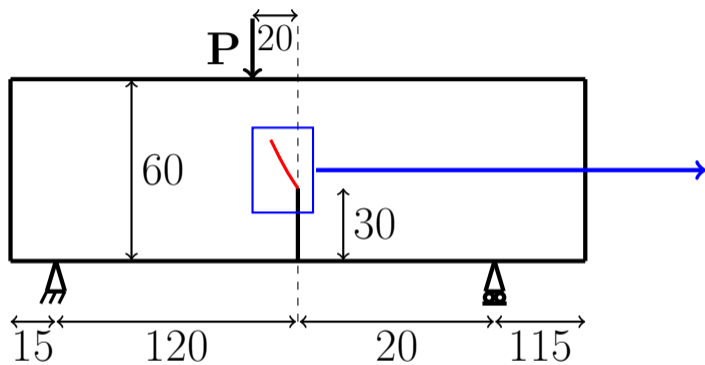
Ooi E.T., Man H., Natarajan S., Song C. Adaptation of quadtree meshes in the scaled boundary finite element method for crack propagation modelling / Eng. Fract. Mech., 144, 2015.

2. Растяжение пластины с отверстием, смешанность мод



На графике смешанности мод наблюдается вторичный «пик» в области поворота трещины вблизи отверстия. После поворота трещины смешанность мод падает практически до нуля, трещина выходит на горизонтальный режим распространения.

3. Трехточечный изгиб балки с центральной трещиной (1)

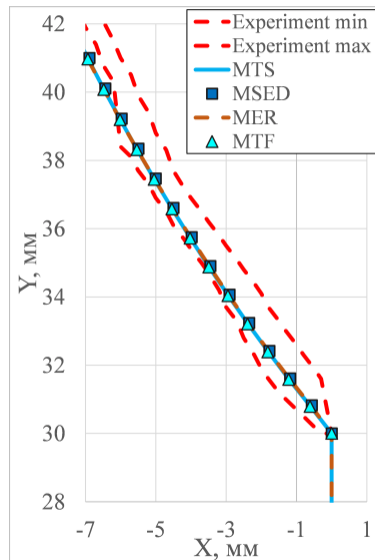


Свойства материала (PMMA)

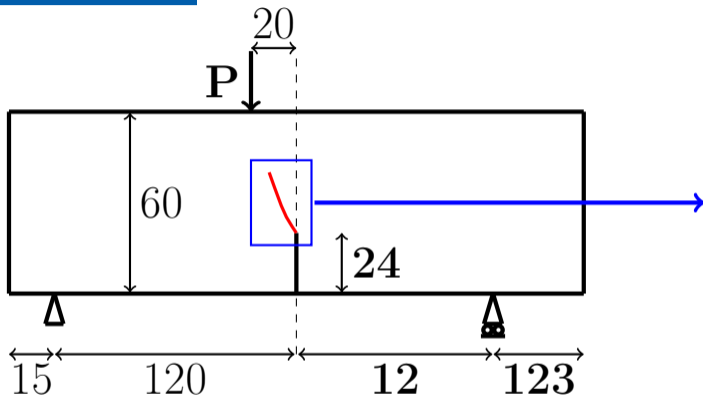
$$E = 2,89 \text{ ГПа} , \nu = 0,4$$

$$\zeta = \frac{K_{II}}{K_I} = 0,43$$

Galvez J.C., Elices M., Guinea G.V., Planas J. Crack trajectories under mixed mode and non-proportional loading / Int. J. of Fract., 81, 1996.



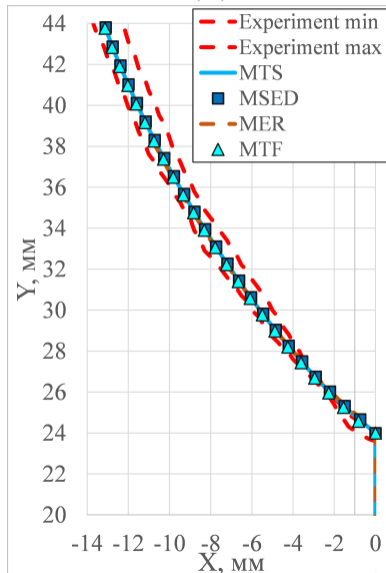
3. Трехточечный изгиб балки с центральной трещиной (2)



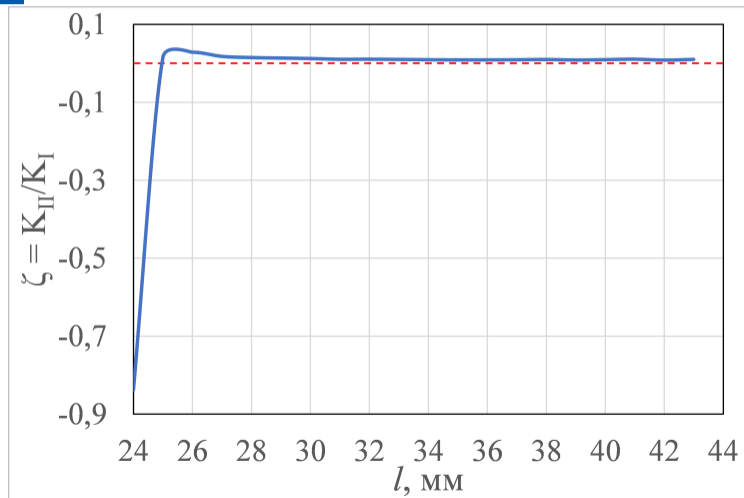
Свойства материала (PMMA)

$$E = 2,89 \text{ ГПа} , \nu = 0,4$$

$$\zeta = \frac{K_{II}}{K_I} = 0,8$$



3. Трехточечный изгиб балки с центральной трещиной (2), смешанность мод



Сравнение начальных углов отклонения

Эксперимент	$\zeta = K_{II}/K_I$	угол начального отклонения, °					разброс
		Эксперимент	MTS	MSED	MER	MTF	
1	0,12	12,7	12,99	12,92	12,99	12,99	0,07
2	0,17	17,5 – 20,5	18,15	17,28	18,13	18,17	1,47
3	0,43	33,7 – 79,4	37,08	34,40	36,04	37,99	3,59
4	0,80	45 – 71,6	50,37	47,91	44,56	55,18	10,62

Эксперименты:

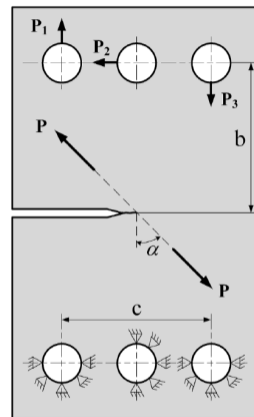
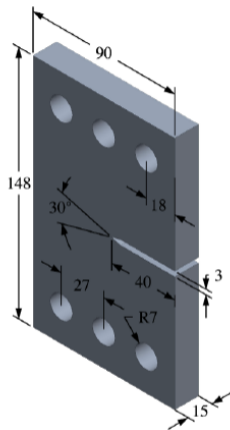
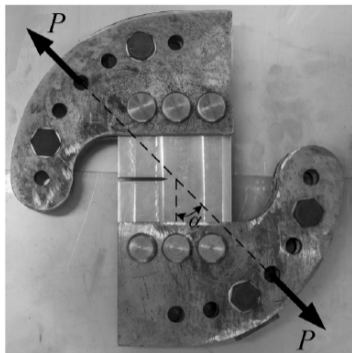
- 1 – трехточечный изгиб балки с отверстиями,
- 2 – растяжение пластины с отверстием,
- 3 – трехточечный изгиб балки с центральной трещиной (1),
- 4 – трехточечный изгиб балки с центральной трещиной (2).

С увеличением начальной смешанности мод ζ растет угол отклонения трещины и различие между прогнозами различных критериев. Однако разница в начальных углах отклонения практически не оказывает влияния на траекторию в целом.

Расчет траектории трещины многоциклового усталости

Задача: растяжение компактного образца силой, приложенной под углом.

Постановка задачи



Условия нагружения: $P_{max} = 16$ кН, $R = 0,1$, $f = 10$ Гц.

Рассматриваемые углы α приложения нагрузки: 30, 45, 60 градусов.

Sajith S., Murthy K.S.R.K., Robi P.S. Experimental and numerical investigation of mixed mode fatigue crack growth models in aluminum 6061-T6 / Int. J. of Fatigue, 130, 2020.

Закон роста

Закон Пэриса (Вычисляем количество циклов ΔN при заданном инкременте Δl):

$$\frac{\delta l}{\delta N} = C (\Delta K_{eq})^m \implies \boxed{\Delta N = \frac{\Delta l}{C (\Delta K_{eq})^m}} \quad C = 4,3378 \cdot 10^{-7}, \quad m = 2,6183 \quad (9)$$

Выражения для ΔK_{eq} :

- Irwin (1958)

$$\Delta K_{eq} = \sqrt{\Delta K_I^2 + \Delta K_{II}^2} \quad (10)$$

- Richard (2003)

$$\Delta K_{eq} = \frac{\Delta K_I}{2} + \frac{1}{2} \sqrt{\Delta K_I^2 + 4(1,155 \Delta K_{II})^2} \quad (11)$$

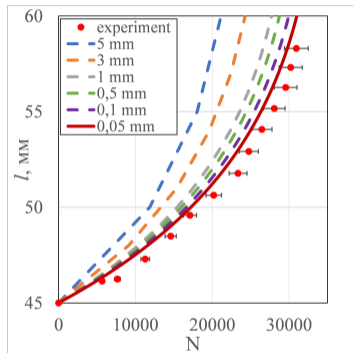
- Tanaka (1974)

$$\Delta K_{eq} = \sqrt{\Delta K_I^2 + 2\Delta K_{II}^2}, \quad \Delta K_{eq} = \sqrt[4]{\Delta K_I^4 + 8\Delta K_{II}^4} \quad (12)$$

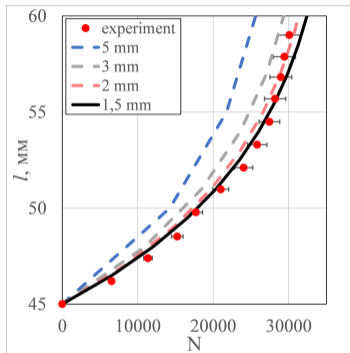
- Demir (2017)

$$\Delta K_{eq} = \sqrt[4]{1,0519\Delta K_I^4 - 0,035\Delta K_{II}^4 + 2,3056\Delta K_I^2\Delta K_{II}^2} \quad (13)$$

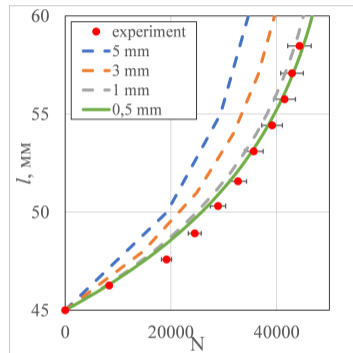
Сходимость оценки расчетного ресурса по инкременту



Угол нагружения 30°

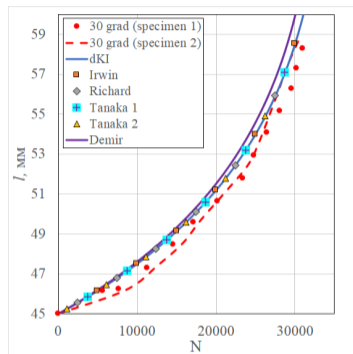


Угол нагружения 45°



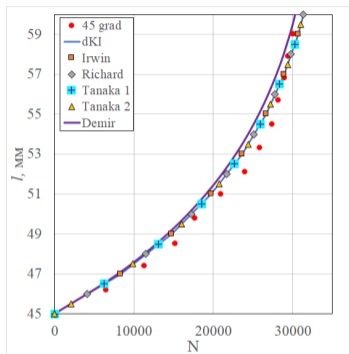
Угол нагружения 60°

Кинетика усталостной трещины при разных углах нагрузки



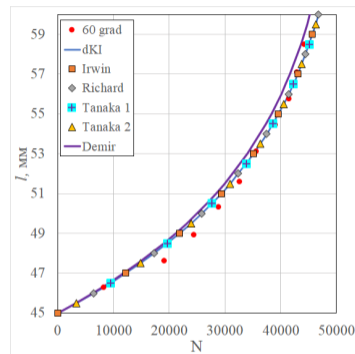
Угол нагружения 30°

Погрешность:
3,8 % (ΔK_I – Tanaka 2),
6,94 % (Demir)



Угол нагружения 45°

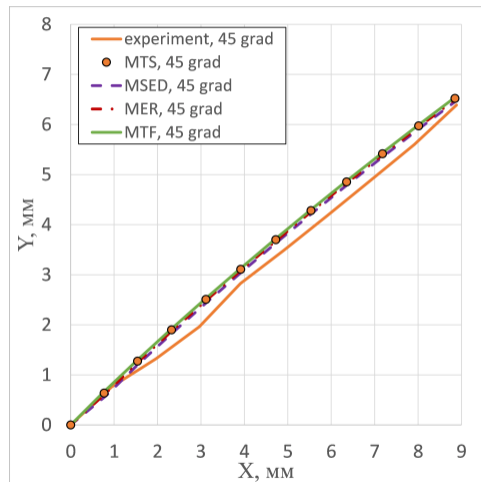
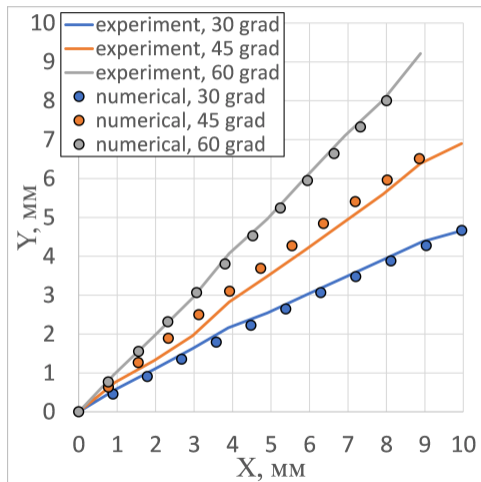
Погрешность:
-1,9 % (ΔK_I – Tanaka 2),
1,44 % (Demir)



Угол нагружения 60°

Погрешность:
-0,25 % (ΔK_I – Tanaka 2),
0,09 % (Demir)

Траектория усталостной трещины при разных углах нагрузки



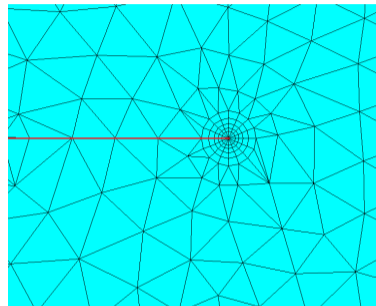
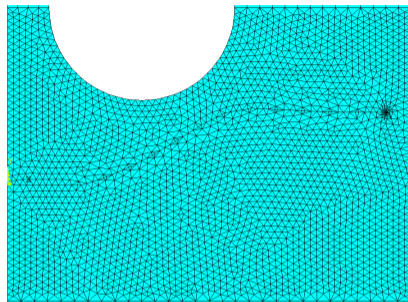
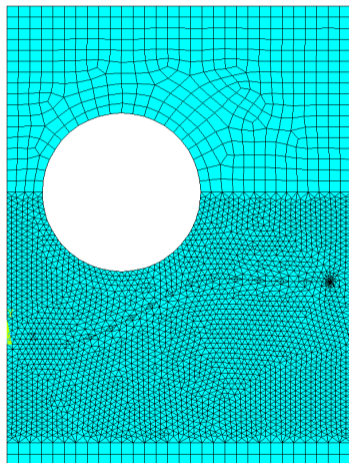
Заключение

- Разработаны методы, алгоритмы и ПО для расчета траектории распространения трещины при квазихрупком разрушении;
- Решены 4 краевые задачи о распространении трещины при монотонном и циклическом нагружении в смешанной моде для образцов различной геометрии;
- Валидация результатов расчетов показала хорошее (погрешность $< 5\%$ по траектории и $< 10\%$ по количеству циклов) совпадение с экспериментальными данными;
- Показано, что выбор критерия роста оказывает значительное влияние на начальный угол отклонения трещины, но практически не влияет на траекторию в целом;
- Для рассмотренного класса задач выбор критерия расчета траектории распространения трещины оказал на результаты меньшее влияние, чем иные параметры модели (величина инкремента и характерный размер КЭ).

Спасибо за внимание!

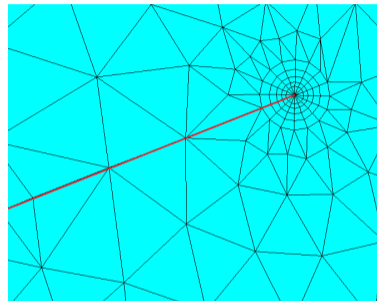
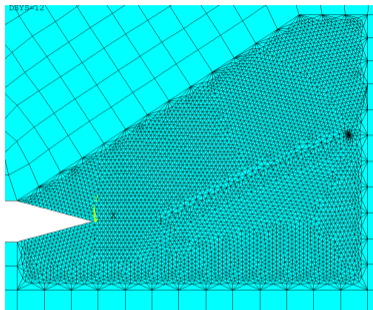
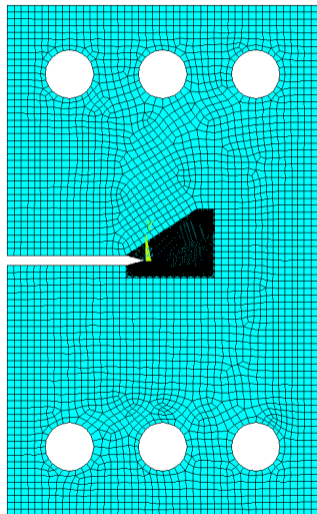


Пример конечно-элементной сетки для монотонного нагружения



Размер КЭ в области распространения трещины – 0.25 мм.
Размер КЭ во внешней области 0.5 мм.
Общее количество элементов ≈ 5500 .
Тип элемента PLANE183, двумерный квадратичный конечный элемент.

Пример конечно-элементной сетки для усталостного разрушения



Размер КЭ в области распространения трещины – 0.3 мм.
Размер КЭ во внешней области 2 мм.
Общее количество элементов ≈ 12000 .
Тип элемента PLANE183, двумерный квадратичный конечный элемент.